



## مروری بر گاموت رنگی و روش‌های تشریح مرزهای آن

سازمان شیراحمد حقیقی<sup>۱</sup>، راضیه جعفری<sup>۲\*</sup>، مژگان حسین‌زاده<sup>۳</sup>

- ۱- کارشناس ارشد، گروه پژوهشی دوباره تولید رنگ و کنترل رنگ، پژوهشکده فیزیک رنگ، پژوهشگاه رنگ، تهران، ایران، صندوق پستی: ۱۶۷۶۵-۶۵۴.
- ۲- استادیار، گروه پژوهشی دوباره تولید رنگ و کنترل رنگ، پژوهشکده فیزیک رنگ، پژوهشگاه رنگ، تهران، ایران، صندوق پستی: ۱۶۷۶۵-۶۵۴.
- ۳- دانشیار، گروه پژوهشی مواد رنگرای آلی، پژوهشگاه رنگ، تهران، ایران، صندوق پستی: ۱۶۷۶۵-۶۵۴.

### چکیده

پیشرفت علم و فناوری در سال‌های گذشته کیفیت زندگی انسان‌ها را تحت تاثیر قرار داده است. دستگاه‌های مانند تلویزیون، چاپگر، موبایل، نمایشگرها و پروژکتورها نمونه‌های بارز این پیشرفت‌ها می‌باشند که تحول بسیار عظیمی در زندگی انسان‌ها ایجاد کرده‌اند. از مشخصه‌های مهم در خروجی این دستگاه‌ها گستره رنگ‌هایی است که می‌توانند به طور دقیق بازتولید نمایند که به آن گاموت رنگی گفته می‌شود. به طور کلی گاموت رنگی محدوده‌ای از رنگ‌هایی است که دستگاه می‌تواند ارائه کند و واسطه به عوامل متعددی است. قابل توجه است که گاموت رنگی دستگاه معمولاً زیرمجموعه خاصی از فضای رنگی سهبعدی است و می‌تواند از طریق محورهای رنگ‌سنجی معرفی شود. در گزارش حاضر به بررسی مطالعات و تحقیقات انجام شده در زمینه گاموت رنگی در چاپگرهای دیجیتال، نمایشگرها، مواد رنگزای طبیعی به کار رفته در کالاهای پشمی و پنبه‌ای و نیز سلول‌های خورشیدی پرداخته شده است و در نهایت الگوریتم‌های تشریح مرزهای گاموت، ایجاد سطح توسط روش مثلث‌بندی و کاربرد روش مثلث‌بندی دلونی مورد بررسی و مطالعه قرار گرفته است.

### اطلاعات مقاله

تاریخچه مقاله:

تاریخ دریافت: ۱۴۰۰/۱۱/۰۳

تاریخ پذیرش: ۱۴۰۰/۱۲/۱۷

در دسترس به صورت الکترونیکی: ۱۴۰۰/۰۳/۳۰

شایانی: ۲۲۵۱-۷۷۷۸

شایانی الکترونیکی: ۲۳۸۳-۲۲۲۳

DOR: 20.1001.1.22517278.1401.12.1.2.7

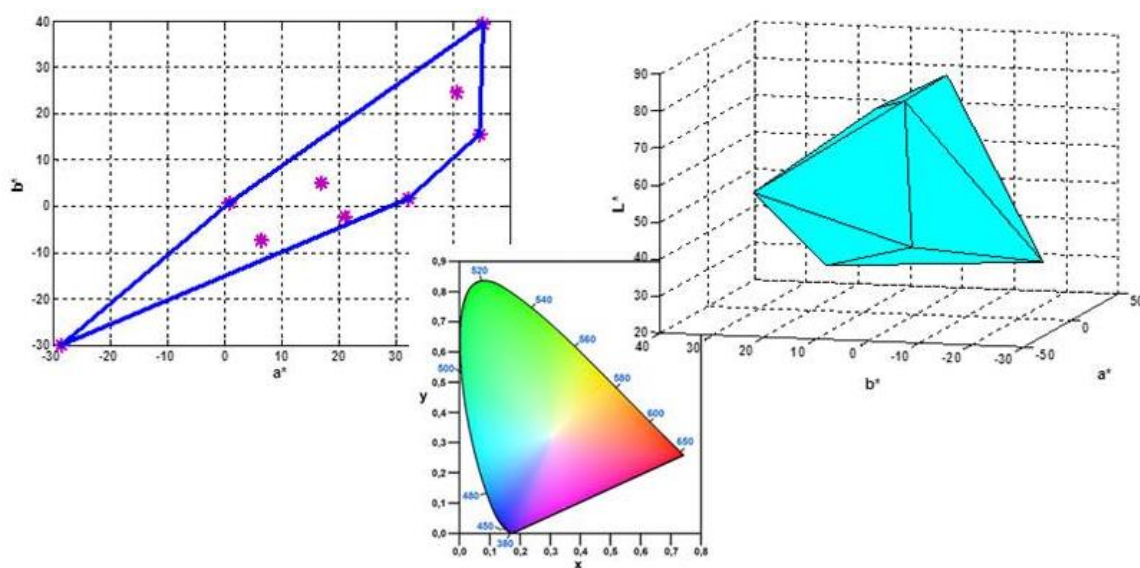
### واژه‌های کلیدی:

گاموت رنگی

الگوریتم‌های مرزهای گاموت رنگی

روش‌های مثلث‌بندی

مثلث‌بندی دلونی



\*Corresponding author: jafari-ra@icrc.ac.ir



## A Review on Color Gamut and the Methods of Gamut Boundaries' Explanation

Sanaz Shirahmad Haghghi<sup>1</sup>, Razieh Jafari<sup>1\*</sup>, Mozhgan Hosseinnezhad<sup>2</sup>

1- Department of Color Physics, Institute for Color Science and Technology, P. O. Box 16765-654, Tehran, Iran.

2- Department of Organic Colorants, Institute for Color Science and Technology, P. O. Box 16765-654, Tehran, Iran.

### ARTICLE INFO

Article history:

Received: 23-01-2022

Accepted: 08-03-2022

Available online: 20-06-2022

Print ISSN: 2251-7278

Online ISSN: 2383-2223

DOR: [10.1001.1.22517278.1401.12.1.2.7](https://doi.org/10.1001.1.22517278.1401.12.1.2.7)

### Keywords:

Color gamut

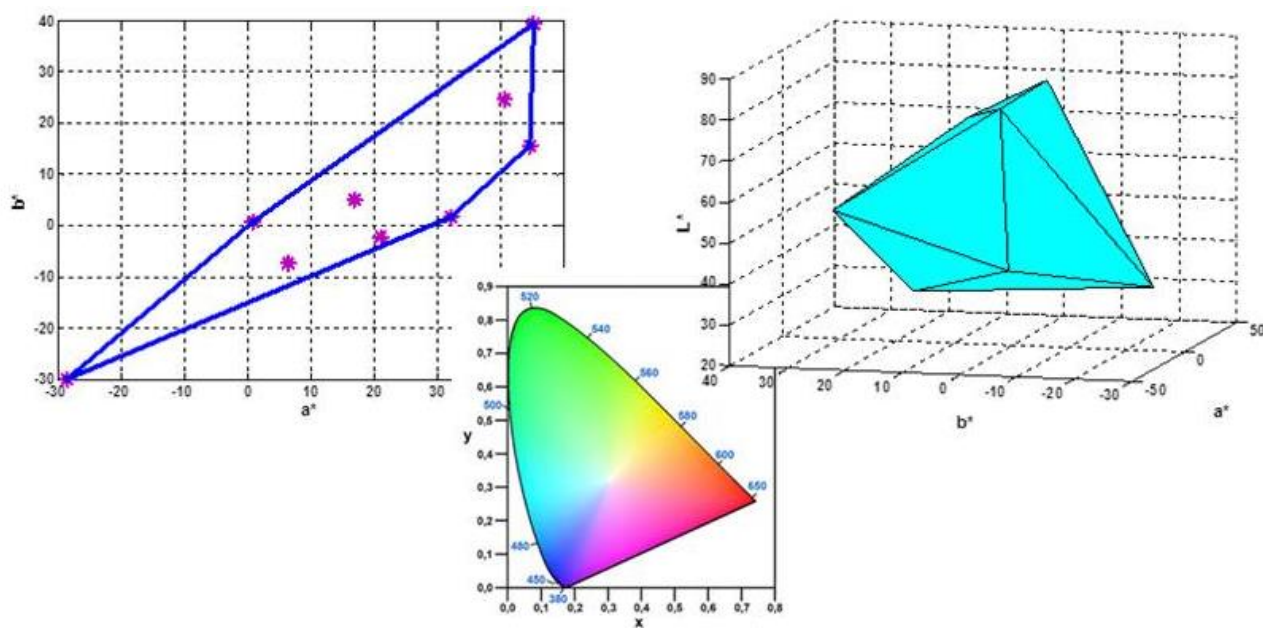
Color gamut boundary algorithms

Triangulation methods

Delaunay triangulation

### ABSTRACT

Advances in science and technology in recent years have affected the quality of human life. Devices such as televisions, printers, mobile phones, monitors, and projectors are good examples of these advances that have brought about a tremendous change in human life. An essential characteristic in the output of these devices is their color gamut, which refers to the range of colors that they can accurately reproduce. In general, the color gamut is the range of colors that a device can provide and depends on several factors. It is noticeable that the color gamut is usually a specific subset of the three-dimensional color spaces and could be introduced over the colorimetric axes. In the present report, studies and researches on the importance of color gamut in printers, monitors, natural dyes used in wool and cotton fibers dyeing process, and solar cells have been investigated. Finally, the algorithms for the definition of gamut boundaries, surface creation, triangulation methods, and application of the Delaunay triangulation method have been studied.



\*Corresponding author: [jafari-ra@icrc.ac.ir](mailto:jafari-ra@icrc.ac.ir)



This work is licensed under a Creative Commons Attribution 4.0 International License

## ۱- مقدمه

برای توصیف ظاهر یک رنگ می‌توان یک سیستم منظم با مشخصه‌های رنگی ایجاد کرد که به این سیستم‌ها، سیستم رنگ منظم<sup>۱</sup> و یا فضارنگ<sup>۲</sup> گفته می‌شود. سیستم‌های رنگ منظم یا فضارنگ‌ها بر پایه نمونه‌های واقعی مانند فضارنگ مانسل یا بر اساس نمونه‌های غیرواقعی مانند کمیسیون بین‌المللی روشنایی (CIE)<sup>۳</sup> نامگذاری شده‌اند. پرکاربردترین مدل رنگی فضارنگ مانسل یا سیستم رنگ منظم مانسل به شمار می‌رود. فضارنگ مانسل بر مبنای درک اختلاف کوچک‌ها با فواصل برابر بصری است که توسط فام، خلوص (اشباع رنگی) و ارزش مانسل (روشنایی) تعریف می‌شود. تمامی رنگ‌های شناخته شده در سیستم CIE را می‌توان با استفاده از سه مشخصه در فضای سهبعدی تعیین کرد و هر رنگ با بیان مختصاتش در فضارنگ تعریف می‌شود [۱-۴]. دیاگرام رنگ<sup>۴</sup> ارتباط بین فام و خلوص را مورد بررسی قرار می‌دهد. محور Y در دیاگرام رنگ بیانگر روشنایی رنگ است که عمود بر صفحه دیاگرام رنگ تعریف می‌شود. نورهای طیف مرئی از طول موج‌های کوتاه ۴۰۰ نانومتر تا طول موج‌های بلند ۷۰۰ نانومتر بر روی شکل مشخص شده‌اند. با مشخص نمودن موقعیت نورهای طیفی از ۴۰۰ تا ۷۰۰ نانومتر در این فضا حالت نعلی شکل به دست می‌آید. موقعیت رنگ‌های طیفی مشخص شده در دیاگرام، مکان هندسی رنگ‌های خالص طیفی یا همان نورهای ناشی از تفکیک نور سفید توسط منشور است. رنگ‌های واقعی رنگ‌هایی هستند که در داخل مرزهای منحنی نعلی شکل قرار گیرند و رنگ‌های غیرواقعی رنگ‌هایی هستند که خارج از مرزهای منحنی نعلی شکل قرار می‌گیرند [۴، ۳]. سیستم رنگ‌سنجی CIEXYZ براساس مؤلفه‌های رنگی و ویژگی‌های رنگی اجسام و نمونه‌ها تعریف شده است و این سیستم به لحاظ درک ویژگی‌های رنگی، غیریکنواخت است. تغییر در منبع نوری باعث تغییر در مختصات رنگی سفید ایده آل می‌شود [۴]. در سال ۱۹۷۶ برای حل مشکل ظاهر رنگی و درک چشمی اختلاف رنگ، CIE فضارنگ یکنواخت CIELAB را برای توصیف و بیان رنگ معرفی کرد [۴، ۳].

فضارنگ CIELAB توسط کمیته بین‌المللی CIE تعیین شده است و تمام رنگ‌های قابل مشاهده برای چشم انسان را توصیف می‌کند. فضارنگ CIELAB مشخصات رنگی نمونه‌ها در سه بعد \*L\*<sup>a</sup>\*<sub>b</sub> را نشان می‌دهد که مشخصه \*L\* بیانگر شدت روشنایی است. یک جسم سفید مقدار روشنایی برابر ۱۰۰ و یک جسم سیاه مقدار روشنایی برابر با صفر دارد. مشخصه \*a\* از مثبت تا منفی نشان‌دهنده ویژگی قرمز-سبزی

<sup>1</sup> Color order system

<sup>2</sup> Color space

<sup>3</sup> Commission internationale de l'Eclairage

<sup>4</sup> Chromaticity

و مشخصه \*b\* از مثبت تا منفی به ترتیب نشان‌دهنده میزان زرد-آبی بودن نمونه‌ها است [۴، ۳]. فضارنگ CIELCH توصیف فضارنگ CIELAB در یک فضای قطبی است که رنگ را تحت سه بعد \*L\*<sup>a</sup>\*<sub>b</sub>\*<sub>h</sub><sup>°</sup> توصیف و بیان می‌کند. مشخصه \*C\* نشان‌دهنده خلوص و مشخصه \*h<sup>°</sup> نشان‌دهنده زاویه فام است. یک رنگ مشخص در فضارنگ CIELAB نشان‌دهنده زاویه فام است. دارای فضارنگ CIELCH دارد. فضارنگ CIELCH چایگاه مشابه در فضارنگ CIELCH است. یک توصیف قطبی از سیستم رنگی دکارتی CIELAB به کار برده می‌شود [۷-۵].

از مشخصه‌های مهم در خروجی هر دستگاه، محدوده رنگ‌هایی است که می‌تواند بازتولید کند و به آن گاموت رنگی گفته می‌شود. این محدوده از رنگ‌ها به عنوان حجمی در فضارنگ سهبعدی قابل تعریف است. به عبارت دیگر گاموت رنگی یک دستگاه معمولاً یک زیرمجموعه مشخص و معین از فضارنگ است که همه رنگ‌ها را شامل شده و می‌تواند محدوده رنگ‌های قابل بازتولید را نشان دهد. در صورت توصیف گاموت در یک فضای دوبعدی، امکان تعریف گاموت‌ها به عنوان ناحیه‌ای در دیاگرام رنگی وجود دارد. هر چند معمولاً برای توصیف کامل گاموت، از یک فضارنگ سهبعدی استفاده می‌شود. بسته به کاربرد موردنظر تعاریف مختلفی برای گاموت‌ها ارائه می‌شود. اندازه در گاموت رنگی در یک فضارنگ مشخص تحت تاثیر عوامل متعددی است. در نمایشگرهای دیجیتال، گاموت رنگی توسط مقادیر اولیه R, G, B تعیین می‌شود [۷]. همچنین برای یک تصویر، گاموت رنگی به صورت مجموعه‌ای از رنگ‌های موجود در آن تصویر تعریف می‌شود. برای دستگاه‌های مختلف مانند نمایشگرهای چاپگرها نیز گاموت رنگی مجموعه‌ای از رنگ‌هایی است که دستگاه می‌تواند ارائه دهد. بنابراین گاموت رنگی هر دستگاه به عنوان یک مشخصه مهم در خروجی آن دستگاه در نظر گرفته می‌شود که به عوامل متعددی وابسته است [۸]. در چاپگرها علاوه بر مقادیر اولیه C, M, Y, K، مقنی‌های دیگری نیز وجود دارد که بر گاموت رنگی تاثیر می‌گذارد. به عنوان مثال در چاپگرها زمانی که دستگاه، کاغذ، شرایط چاپ و شرایط مشاهده کننده تغییر می‌کند، گاموت رنگی نیز تغییر می‌کند. برای تعیین گاموت رنگی یک دستگاه لازم است که رنگ تعدادی از نمونه‌های تولید شده اندازه‌گیری یا مدل سازی شود در این صورت می‌توان حجم فضای رنگی اشغال شده توسط نقاط داده‌ها را تخمین زد [۹-۷].

در ابتدا هدف این مقاله بررسی الگوریتم‌های تشریح مرزهای گاموت، مثلث‌بندی دلونی و ارائه یافته‌های پژوهشگران و محققان درباره کاربرد گاموت رنگی به منظور بیان اهمیت بررسی حجم رنگی ایجاد شده توسط نمونه‌های رنگی در چاپگرها و نمایشگر، یا طی عملیات رنگرزی نمونه‌های مختلف الیاف و نیز در سلول‌های خورشیدی مبتنی بر مواد رنگزا است. شایان ذکر است موضوع تعریف گاموت رنگی و روش‌های بسیار متنوع ایجاد گاموت‌های رنگی در نمایشگرها و چاپگرها موضوع تحقیقات فراوان توسط پژوهشگران می‌باشد. گزارش حاضر، اشاره‌ای دارد به برخی

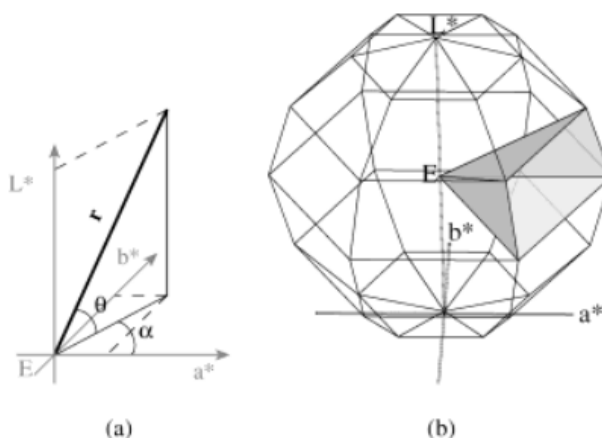
مختصات کروی ارزیابی کرد. به این ترتیب مختصات کروی را می‌توان از مختصات CIELAB با استفاده از روابط ۱-۳ بدست آورد:

$$r = \left[ (L^* - L_E^*)^2 + (a^* - a_E^*)^2 + (b^* - b_E^*)^2 \right]^{\frac{1}{2}} \quad (1)$$

$$\alpha = \tan^{-1}((b^* - b_E^*) / (a^* - a_E^*)) \quad (2)$$

$$\theta = \tan^{-1} \left[ \left( (L^* - L_E^*) / \left( (a^* - a_E^*)^2 + (b^* - b_E^*)^2 \right)^{\frac{1}{2}} \right) \right] \quad (3)$$

به عنوان مرکز گاموت رنگی تعریف می‌شود که می‌تواند از میانگین مختصات نقاطی که برای بدست آوردن مرزهای تشریح گاموت استفاده می‌شود محاسبه شود. به طور کلی نقطه در فضانگ CIELAB دارای مختصات  $[L^*, a^*, b^*]$  است که می‌توان در بیشتر موارد از این مختصات استفاده کرد زیرا این روش، تقریب خوبی از مرکز است.  $r$  فاصله یک رنگ از مرکز،  $\alpha$  زاویه فام در محدوده  $0^\circ$  تا  $360^\circ$  درجه،  $\theta$  زاویه در صفحه ثابت در محدوده  $180^\circ$  درجه تعریف می‌شود. باید به این نکته توجه داشت که  $E$  می‌تواند برای گاموت‌های مختلف متفاوت باشد و حتی اگر مدل‌های محاسبه گاموت مورد بحث در اینجا براساس CIELAB توضیع داده شود می‌تواند به راحتی برای استفاده در سایر فضاهای رنگی تطبیق داده شود. نمایی از الگوریتم Segment maxima در شکل ۱ در فضانگ CIELAB نشان داده شده است. در این روش فضای رنگی به یک سری فضاهای کوچک‌تر تقسیم می‌شود. به این صورت که در ابتدا فضای موردنظر (مثلاً  $L^*a^*b^*$ ) به فضای قطبی ( $r$   $\alpha$   $\theta$ ) تقسیم شده و تقسیم‌بندی فضا با تقسیم  $\alpha$  ( $0^\circ$  تا  $360^\circ$  و  $0^\circ$  تا  $180^\circ$ ) تغییر می‌کند و به ناحیه‌های کوچک‌تر تبدیل می‌شود.



شکل ۱: نمایی از الگوریتم Segment maxima در فضانگ CIELAB. (الف) مختصات کروی. (ب) الگوریتم Segment maxima (۶×۶ بخش)، قسمت پررنگ شده به خاطر وضوح نشان داده شده است [۱۱].

**Figure1:** Schematic of segment maxima over the CIELAB color space: (a) spherical coordinates; (b) segment maxima algorithm (only  $6 \times 6$  segments) the highlighted part is for clarification [11].

تحقیقات انجام شده در خصوص کاربرد گاموت رنگی، الگوریتم‌های تشریح مرزهای گاموت رنگی، توصیف روش‌های مثلث‌بندی، خواص و راه حل‌های موجود در مثلث‌بندی دلونی که در ادامه به آن‌ها پرداخته می‌شود.

## ۲- الگوریتم‌های تشریح مرزهای گاموت رنگی

برای تشریح مرزهای گاموت رنگی الگوریتم‌های بسیاری ارائه شده است، اما فقط تعداد کمی از این الگوریتم‌ها مورد استفاده قرار گرفته است. در صورتی که اندازه‌گیری داده‌ها هیچ ساختاری را دنبال نکند، برای تعیین مرزهای گاموت رنگی از الگوریتم‌های Convex hull و Alpha shape Segment maxima برای پیدا کردن نقاط سطح استفاده می‌شود. از این الگوریتم‌ها می‌توان برای تعیین مرز گاموت در تصاویر یا دستگاهی یا هر دو آن‌ها استفاده کرد. به طور کلی گاموت رنگی نمونه‌ها در فضاهای دوبعدی یا سه‌بعدی از فضانگ‌های رایج تعریف می‌شوند. همچنین برای محاسبه حجم گاموت رنگی ایجاد شده توسط نمونه‌ها از الگوریتم‌های مذکور می‌توان استفاده کرد [۱۰].

### ۲-۱- الگوریتم Alpha shape

چولوو<sup>۱</sup> و لاو<sup>۲</sup> در سال ۱۹۹۱ الگوریتم Alpha shape را برای تشریح مرزهای گاموت رنگی ارائه کردند. در این روش مقدار آلفا هدف باید به درستی انتخاب شود و برای این کار هیچ استانداردی وجود ندارد. در صورت انتخاب عدد بالا ( $\alpha > 0$ ) تحدب گاموت رنگی در نظر گرفته نمی‌شود و انتخاب عددی کم ( $\alpha < 0$ ) باعث می‌شود تا نقاط درونی گاموت رنگی به اشتباه به عنوان نقاط مرزی قرار بگیرند. به طور کلی اگر تعداد نقاط موجود در گاموت رنگی که برای به دست آوردن مرزهای آن استفاده شده است کم باشد، بهتر است از  $\alpha$  بالاتر استفاده شود. برای پیدا کردن شکل از مجموعه نقاط از الگوریتم Alpha shape استفاده می‌شود اما به طور معمول برای پیدا کردن گاموت رنگی از این الگوریتم استفاده نمی‌شود [۱۱، ۱۰]. برای پیاده‌سازی و اجرای الگوریتم Alpha shape می‌توان از نرم‌افزار متلب استفاده کرد.

### ۲-۲- الگوریتم Segment maxima

الگوریتم Segment maxima یک روش متفاوت برای تعیین گاموت است که با یافتن بیشترین خلوص برای هر بخش که از فام و روش‌نایاب ویرژه برخوردار هستند ایجاد می‌شود. این روش توسط مورویک<sup>۳</sup> و لو<sup>۴</sup> در سال ۱۹۹۷ تا ۲۰۰۰ پیشنهاد شد. با ایجاد یک ساختار شبکه‌ای منظم، مثلث‌بندی می‌تواند منجر به ایجاد یک سطح گاموت شود. در روش Segment maxima هر بخش را می‌توان بر حسب  $L^*$ ,  $a^*$  و  $b^*$  و  $\alpha$  تعریف کرد.

<sup>1</sup> Cholewo

<sup>2</sup> Love

<sup>3</sup> Morovic

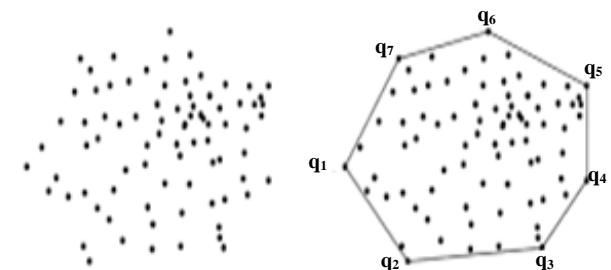
<sup>4</sup> Luo

کاربرد آن در ریاضیات و علوم طبیعی برشمرد [۱۴].

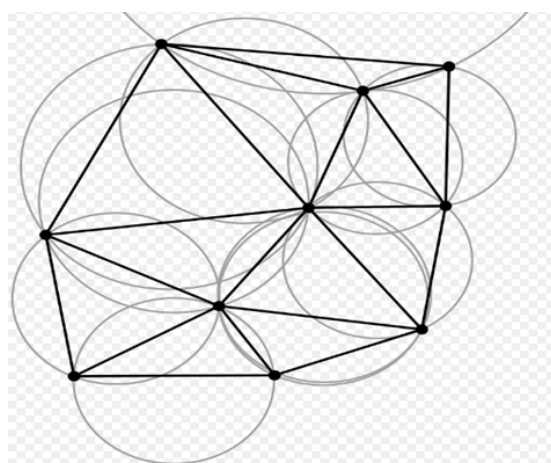
### ۱-۳- مثُلث‌بندی Delaunay

برای ایجاد مثُلث‌بندی دلونی از یک مجموعه نقاط الگوریتم‌های فراوانی ارائه شده است. در سال ۱۹۳۴ مثُلث‌بندی دلونی توسط بوریس دلونی<sup>۶</sup> مورد مطالعه و ارزیابی قرار گرفت. برای تولید مثُلث‌بندی دلونی قانون اصلی قانون دایره است. به عبارت دیگر مثُلث بندی دلونی، نوعی مثُلث بندی است که در آن دایره محیطی هر مثُلث شامل هیچ راسی از رئوس مثُلث‌های دیگر نباشد (شرط دایره محیطی) و واضح است که این نوع مثُلث بندی یکتا خواهد بود. شکل ۳ یک نمونه از مثُلث‌بندی دلونی را نمایش می‌دهد [۱۴-۱۶].

از جمله خواص مثُلث‌بندی دلونی می‌توان به خاصیت دایره، خاصیت زاویه، خاصیت یکتایی و خاصیت محدوده اشاره کرد. همان‌طور که در شکل ۴ نشان داده شده است، در خاصیت دایره، محیطی از مثُلث‌های ایجاد شده از نقاط (P<sub>i</sub>, P<sub>j</sub>, P<sub>k</sub>) متعلق به یک مثُلث‌بندی دلونی از یک سری نقاط P است.



شکل ۲: نمایی از الگوریتم Convex hull [۱۳].  
Figure 2: Schematic of convex hull algorithm [13].



شکل ۳: شرط دایره در مثُلث‌بندی دلونی [۱۵].  
Figure 3: Circle condition in delaunay triangulation[15].

<sup>5</sup> Computer vision

<sup>6</sup> Boris Nikolaevich Delaunay

مرز گاموت رنگی با بزرگ‌ترین <sup>۲</sup> که فاصله هر نقطه از مرکز فضارنگ است، در هر قسمت شناخته می‌شود. باید دقت شود که تعداد تقسیم‌بندی خیلی زیاد نباشد زیرا نتایج بهخوبی نشان داده نخواهد شد [۱۰-۱۲].

### ۲-۳- الگوریتم Convex hull

همان‌طور که در شکل ۲ نشان داده شده است در این روش با قرار گرفتن نقاط در فضای رنگی به طور مثال فضارنگ CIELAB، نقطه‌ای با کوچک‌ترین  $\times$  (یک زیرمجموعه محدود از نقاط در صفحه است، الگوریتم Convex hull ممکن است به شکل نواری نشان داده شود که در اطراف کشیده شده است) انتخاب شده و سپس نقطه‌ای که نسبت به آن زاویه کمتری دارد پیدا می‌شود و این روش ادامه می‌یابد. نخست برای انجام این کار فضارنگ به یک فضای رنگ قطبی منتقل شده و در ادامه <sup>۳</sup> که فاصله هر نقطه از مرکز فضارنگ است، مرز گاموت رنگی را مشخص می‌کند. از الگوریتم Convex hull می‌توان برای به دست آوردن حجم گاموت رنگی نیز استفاده کرد [۱۱].

### ۳- مثُلث‌بندی<sup>۱</sup>

مثُلث‌بندی یک روش برای تقسیم‌بندی فضا، از یک مجموعه نقاط است. در حقیقت فراگیرترین راه برای بیان سطح، مثُلث‌بندی نقاط نمونه‌برداری شده به منظور ایجاد شبکه نامنظم مثلثی است. مجموعه مثُلث‌های ایجاد شده، تشکیل یک سطح کامل می‌دهند که یک مدل پیوسته از سطح است. مهم‌ترین مسئله در الگوریتم‌های مثُلث‌بندی عدم واستگی آن‌ها به نقطه شروع یا توجیه نقاط است. همچنین نتایج باید به آسانی قابل تکرار و قابل پیش‌بینی باشد. از این رو اگر در هنگام ایجاد مثُلث‌ها هدف پیش‌بینی کردن کمینه زوایا باشد و شرط دایره را برقرار کنیم به نحوی که دایره محیطی شامل هر مثُلث، شامل نقطه دیگری نشود، مثُلث‌های ایجاد شده دلونی هستند. این مثُلث‌های یکه ایجاد شده مستقل از جهت شروع یا مشخصه‌های دیگر است. به طور منطقی برای دورنیابی ارتفاعی برای نقاط مورد نیاز همواره از نزدیکترین نقاط استفاده می‌شود. پس باید در مثُلث‌بندی نیز انتظار داشت که نقاط نزدیک بهم متصل شوند تا نقاط دور. از مهم‌ترین ویژگی‌های روش مثُلث‌بندی می‌توان به عدم واستگی الگوریتم‌های مثُلث‌بندی به نقطه شروع، قابل تکرار بودن و سادگی قابلیت پیش‌بینی نتایج اشاره کرد همچنین از مهم‌ترین کاربردهای این روش را می‌توان در مدل‌کردن سطوح اجسام<sup>۲</sup>، گرافیک کامپیوتری<sup>۳</sup>، ترکیب تصاویر<sup>۴</sup>، بینایی کامپیوتری<sup>۵</sup> و همچنین

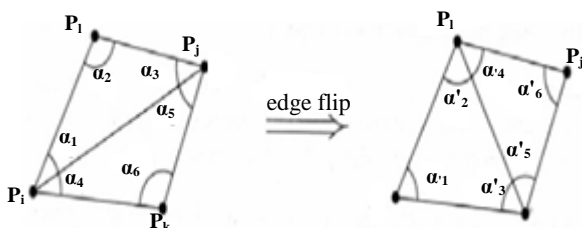
<sup>1</sup> Triangulation

<sup>2</sup> Mesh Generation

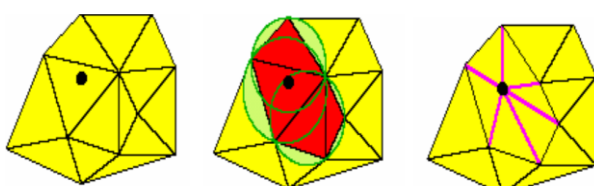
<sup>3</sup> Computer graphic

<sup>4</sup> Image synthesis

الگوریتم‌های واستن<sup>۷</sup> و بوبویور<sup>۸</sup> در سال ۱۹۸۱ و الگوریتم‌های گیباس<sup>۹</sup> و استوفی<sup>۱۰</sup> در سال ۱۹۸۳ از نمونه الگوریتم افزایشی می‌باشند. در روش الگوریتم افزایشی، مثلثبندی فقط با سه نقطه شروع می‌شود و به ترتیب نقاط اضافه می‌شوند. هنگامی که یک نقطه وارد می‌شود باید بررسی شود که نقطه جدید در کدام مثلث اضافه شده است و یال‌ها از نقطه جدید به گوشه مثلث‌ها متصل می‌شوند. این الگوریتم دارای بهترین حالت کیفی در تولید شبکه مثلث‌ها است. مشکل روش افزایشی، مسئله جستجو نقطه اضافه شده است که باعث افزایش روند الگوریتم می‌گردد. پس نیاز به یک الگوریتم برای پیدا کردن سریع نقاط است. به عبارت دیگر در این نوع روش، مثلثبندی از یک چندضلعی شروع شده، در هر مرحله بر روی یکی از یال‌های چندضلعی قبلی یک چندضلعی جدید اضافه می‌کنیم، به این صورت که چند ضلعی جدید شرط دایره را داشته باشد. این الگوریتم در شکل ۷ برای حالت دو بعدی نمایش داده شده است. نقطه جدیدی وارد شبکه دلونی موجود شده و شرط را برای چند مثلث از بین برده است. آنگاه این مثلث‌ها تبدیل به یک چندضلعی می‌شوند که شامل نقطه جدید است. اکنون نقطه جدید به هر یک از نقاط در رئوس چندضلعی متصل می‌شود و یک مثلثبندی جدید شکل می‌گیرد و این روند برای تمام نقاط جدید تکرار می‌شود تا همه نقاط به ساختار معرفی شوند [۱۴-۱۶]. این الگوریتم از ساده‌ترین الگوریتم‌های مثلثبندی دلونی است.



شکل ۵: خاصیت زاویه در مثلثبندی دلونی [۱۵].  
Figure 5 : Angles attribute in delaunay triangulation[15].



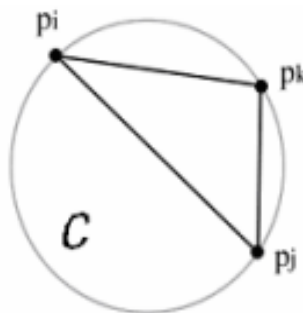
شکل ۶: روش ایجاد مثلثبندی دلونی به روش بر خط [۱۵].  
Figure 6: Online method to create delaunay triangulation [15].

<sup>7</sup> Watson

<sup>8</sup> Bowyer

<sup>9</sup> Guibas

<sup>10</sup> Stolfi



شکل ۴: خاصیت دایره در مثلثبندی دلونی [۱۵].  
Figure 4: Circle attribute in delaunay triangulation[15].

همچنین در خاصیت دایره، دایره محیطی از مثلث‌های تشکیل شده از سه نقطه نباید شامل هیچ نقطه دیگری شود [۱۴-۱۶]. خاصیت زاویه در مثلثبندی دلونی به این صورت است که با استفاده از چهار نقطه یک چهار ضلعی ایجاد می‌شود و قطعی بهترین حالت را دارد که چهار ضلعی تشکیل شده را به دو مثلث تقسیم کند بهطوریکه کوچک‌ترین زاویه داخلی را بیشینه کند. شکل ۵ خاصیت زاویه در مثلثبندی را نشان می‌دهد. این خاصیت اطمینان می‌دهد که مثلث‌های ایجاد شده، بهترین حالت از آن نقاط هستند. در خاصیت یکتایی مثلثبندی دلونی واحد است. برای یک مجموعه نقاط فقط یک مثلثبندی وجود خواهد داشت که دارای شرط دلونی باشد. خاصیت محدوده برای مجموعه P، یال‌های خارجی مثلثبندی دلونی مرز Convex hull را ایجاد می‌کند [۱۶-۱۴]. برای ایجاد مثلثبندی دلونی راه حل‌های مختلفی به صورت مستقیم ارائه شده است که می‌توان به روش بهینه‌سازی محلی<sup>۱</sup>، روش برخط<sup>۲</sup>، روش افزایشی<sup>۳</sup>، روش تعییه با ابعاد بیشتر<sup>۴</sup> و روش تقسیم و تکرار<sup>۵</sup> اشاره کرد [۱۴-۱۶]. روش بهینه‌سازی محلی به این صورت است که ابتدا یک مثلثبندی دلخواه بر روی نقاط انجام می‌گیرد و بعد درجهت برقرار بودن شرط دایره، محل یال‌هایی که غیرمجاز هستند تغییر داده می‌شوند. همانطور که در شکل ۶ نشان داده شده است در روش برخط در هر لحظه یک نقطه به مجموعه نقاط افزوده می‌گردد، این نقطه جدید احتمالاً در یکی از چندضلعی‌های ساخته شده قبلي قرار خواهد گرفت، چندضلعی که آن را در برگرفته است، تقسیم شده و چند، چندضلعی جدید به وجود می‌آید، شرط دایره برای هر چندضلعی جدید به دست آمده کنترل می‌گردد.

الگوریتم افزایشی به الگوریتم افزایشی تصادفی<sup>۶</sup> معروف است.

<sup>1</sup> Local improvemen

<sup>2</sup> Online

<sup>3</sup> Incremental

<sup>4</sup> Higher dimensional embedding

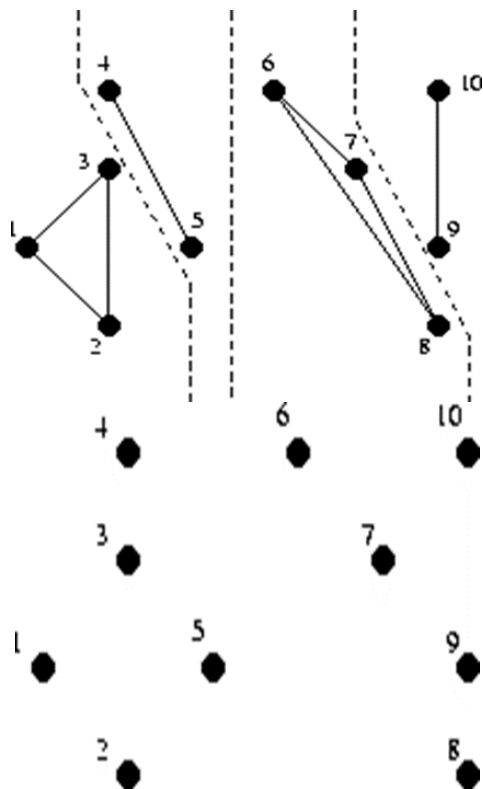
<sup>5</sup> Devide and Conquer

<sup>6</sup> Randomised Incremental Algorithm

رنگ‌های RGB نمونه بر روی نمایشگر LCD نمایش داده شد. مقادیر CIELAB مربوطه با استفاده از طیف‌سنج X-Rite DTP94 اندازه‌گیری شد. در نهایت گاموت رنگی CIELAB سه‌بعدی نمایشگر و مزهای گاموت دو بعدی با استفاده از الگوریتم پیشنهادی در این مقاله مورد بررسی قرار گرفته است. همانطور که در شکل ۹ نشان داده شده است گاموت رنگی سه‌بعدی در فضای CIELAB شرح داده شده است و همانطور که هرتزوگ<sup>۱</sup> پیشنهاد کرده است شبیه به یک شش ضلعی تغییر شکل یافته است.

در مقایسه با مکعب RGB اولیه، گاموت رنگی CIELAB دارای هشت راس و شش وجه پیوسته است، اگرچه موقعیت نسبی رنگ‌های نمونه تغییر کرده است. بک<sup>۲</sup> و همکارانش، یک روش برای ارزیابی الگوریتم‌های محاسبه مزز گاموت را پیشنهاد داد و دو الگوریتم آزمایش شده با استفاده از میزان عدم تطابق حجم گاموت<sup>۳</sup> مقایسه شد که در رابطه<sup>۴</sup> بیان شده است.

$$r_i = \frac{V(G_i | G_{ref}) + V(G_{ref} | G_i)}{V(G_{ref})} \quad (3)$$



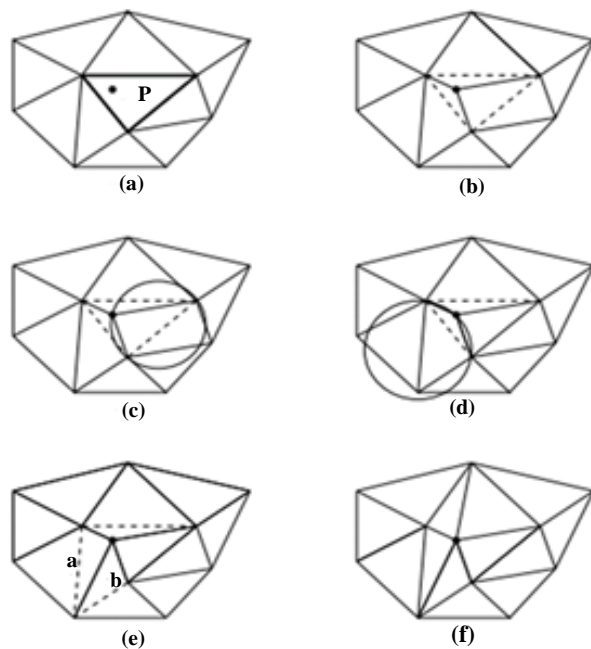
شکل ۸: روش ایجاد مثلثبندی دلونی به روش الگوریتم تقسیم و تکرار [۱۵].

Figure 8: Delaunay triangulation method by Devide and conquer algorithm[15].

<sup>1</sup> Herzog

<sup>2</sup> Bakke

<sup>3</sup> Gamut volume mismatching rate



شکل ۷: روش ایجاد مثلثبندی دلونی به روش الگوریتم افزایشی تصادفی [۱۵].

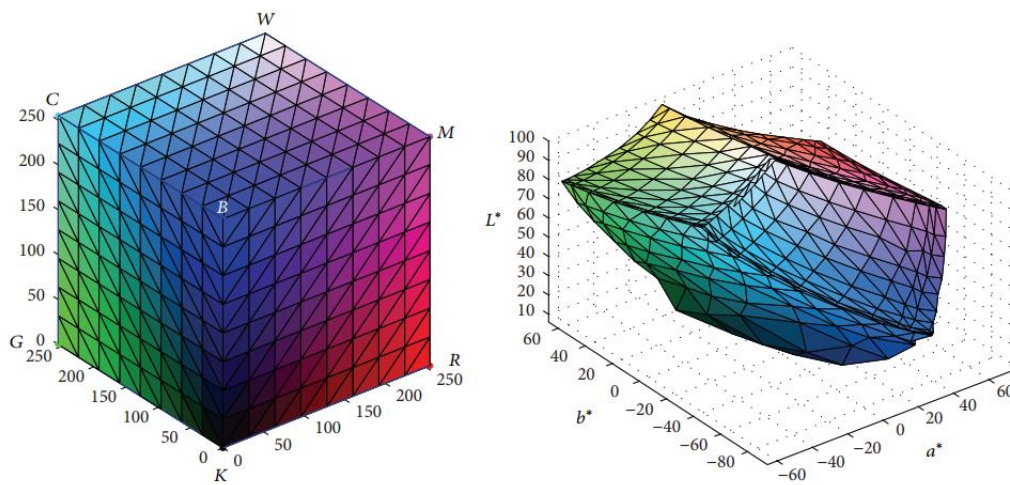
Figure 7: Randomised incremental algorithm to create delaunay triangulation [15].

در روش تعبیه با ابعاد بیشتر این الگوریتم‌ها نقاط را به فضای  $E^d$ <sup>+1</sup> منتقل می‌کنند و سپس Convex hull نقاط را محاسبه کرده و مثلثبندی دلونی را با استفاده از تصویر این نقاط محاسبه شده بر روی  $E^d$ <sup>4</sup> به دست می‌آورند. الگوریتم تقسیم و تکرار برگرفته از روش تقسیم و حل عادی می‌باشدند. مطابق شکل ۸ مجموعه نقاط به دسته‌های کوچک‌تر تقسیم شده و مثلثبندی برای هر یک از این دسته‌ها انجام می‌شود و سپس راه حل‌ها با یکدیگر ترکیب شده و مثلثبندی نهایی حاصل می‌شود، تنها مشکل این روش، ترکیب راه حل‌ها می‌باشد چرا که در زمان ترکیب ممکن است مثلثبندی مزه‌ها تغییر نماید. معروف‌ترین روش مثلثبندی دلونی مبتنی بر الگوریتم تقسیم و تکرار، روش DeWall است. ویژگی بارز این الگوریتم علاوه بر بازدهی مناسب در اجرا، بسط راحت آن به محیط‌های با ابعاد بالاتر هست [۱۴-۱۶].

#### ۴- کاربرد گاموت رنگی

##### ۴-۱- کاربرد گاموت رنگی در نمایشگرها دیجیتال

در سال ۲۰۱۴، در تحقیقی مزهای گاموت رنگی یک نمایشگر LCD توشیبا مورد بررسی و محاسبه قرار گرفت. در ابتدا Fضای CIELAB دستگاه به طور یکنواخت تقسیم شد و سیگنال‌های قرمز، سبز و آبی همه در محدوده [۰ ۳۲ ۶۴ ۹۶ ۱۲۸ ۱۶۰ ۱۹۲ ۲۲۴ ۲۵۵] قرار داشتند. بنابراین در نمونه ۷۲۹ رنگ وجود داشت. سپس



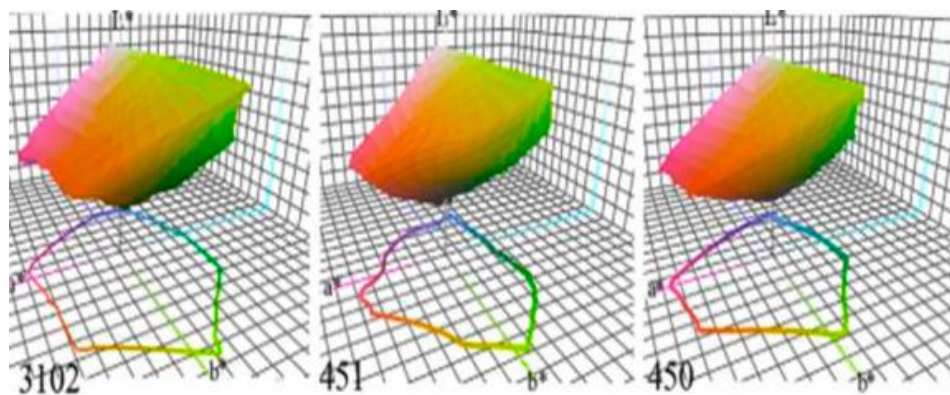
**شکل ۹:** گاموت رنگی سه بعدی نمایشگر توشیبا در (الف) فضا رنگ RGB و (ب) فضای رنگ CIELAB [۱۷].

۴-۲- گاموں رنگی چاپگر دیجیتال

گاموت رنگی در چاپگرها توسط تولیدکنندگان تنظیم می‌شود. نوع چاپگر، زمینه و توزیع از عوامل مختلفی است که شکل و اندازه گاموت رنگی در فضارنگ را تحت تأثیر قرار می‌دهد. خواص کاغذ، از مهم‌ترین عوامل در انتقال و ظاهر تصویر در کلیه فرآیند بازتولید رنگ در چاپگرها است. خواص کاغذ مانند تخلخل، زبری و برآقیت به عنوان متغیر مهم در پیش‌بینی و بازنمایی رنگ است که تأثیر قابل توجهی در کیفیت چاپ و گاموت رنگی دارد [۱۹، ۱۸، ۷]. عطایی فرد در سال ۲۰۱۴، جهت بررسی گاموت رنگی و حجم آن از سه نوع چاپگر Minolta Bizhub C451 و Minolta Bizhub C450 دیجیتال Bizhub CF3102 و از شش نوع کاغذ با ساختار سطحی متفاوت از لحاظ سفیدی، زبری و برآقیت استفاده کرد. تمام چاپگرها مورد استفاده در این تحقیق فناوری مشابهی برای تولید و ساخت تصاویر داشتند. گاموت رنگی سه نوع چاپگر دیجیتال در شکل ۱۰ و حجم گاموت رنگی برای شش نوع کاغذ در جدول ۱ نشان داده شده است. نتایج نشان داد چاپگر CF3102 به طور قابل ملاحظه‌ای گاموت رنگی بزرگ‌تری نسبت به دو چاپگر C450 و C451 به خصوص در ناحیه زرد برای کاغذ A دارد. همچنین مقایسه حجم گاموت رنگی چاپگر CF3102 نشان داد که این چاپگر حجم گاموت بزرگ‌تری برای کاغذ A داشته است لذا این چاپگر برعاید سه اثر کاغذ انتخاب شد [۸].

گاموت رنگی ۵ نوع کاغذ مختلف توسط چاپگر CF3102 در فضارنگ CIELAB در شکل ۱۱ نشان داده شده است. نتایج بررسی ها نشان داد که همه کاغذها حجم گاموت رنگی برابری برخوردار بودند اما مطابق با شکل ۱۱ و جدول ۱ کاغذ B و C حجم گاموت رنگی پایین تری در مقایسه با بقیه کاغذها داشتند.

ri میزان عدم تطابق حجم گاموت،  $V(Gref)$  حجم گاموت مرجع و  $V(Gi|Gref)$  بیرون از گاموت قرار دارند. در این آزمایش گاموت تعیین شده توسط الگوریتم بدست آمده در مقاله به عنوان گاموت مرجع انتخاب شد و سه الگوریتم شناخته شده توصیف گاموت  $\text{Segment maxima}$  ،  $\text{alpha shape}$  و  $\text{convex hull}$  به عنوان الگوریتم‌های مقابله استفاده شد. در نتیجه میزان عدم تطابق به ترتیب  $3/2$ ،  $2/4$ ،  $3/7$  درصد بدست آمد که نشان داد دقت الگوریتم در مقاله بسیار زدیک به الگوریتم‌های دیگر است. نتایج بررسی‌ها در این پژوهش نشان داد که به طور کلی گاموت رنگی نمایشگرها از چاپگرهای بزرگ‌تر است. بنابراین هنگامی که تصویر نمایش داده شده چاپ می‌شود آردن بدست آوردن گاموت باید از قبل انجام شود. فرآیند بدست آوردن گاموت رنگی یک روش جایه‌جایی رنگ‌های غیرقابل چاپ توسط رنگ‌های قابل چاپ است که ظاهر یک تصویر را حفظ می‌کند. دو دلیل عمدی که بر روی فرآیند گاموت رنگی تاثیر می‌گذارد شامل انتخاب الگوریتم‌های فرآیند بدست آوردن گاموت رنگی و محاسبه مرزهای آن است. از آنجایی که الگوریتم‌های توصیف مرزهای گاموت موفق برای تصاویر و دستگاه‌های مختلف توسعه یافته است، بهبود دقت مرزهای گاموت بسیار مورد توجه قرار گرفته است. در مقاله حاضر یک الگوریتم جدید مرز گاموت جدید برای دستگاه‌های رنگی پیشنهاد شده است. به منظور ارزیابی دقیق، الگوریتم موجود در این مقاله با سایر الگوریتم‌های شناخته شده توصیف گاموت مقایسه شد و نتایج نشان داد تفاوت حجم گاموت رنگی بسیار کم است که نشان می‌دهد الگوریتم قابل قبول است. علاوه بر این باید توجه داشت اگر چه گاموت رنگی نمایشگرها در این آزمایش شرح داده شده است ولی می‌توان از این الگوریتم برای سایر دستگاه‌های رنگی مانند اسکنر، دو، رس، و حایگ نیز استفاده کرد [۱۲].



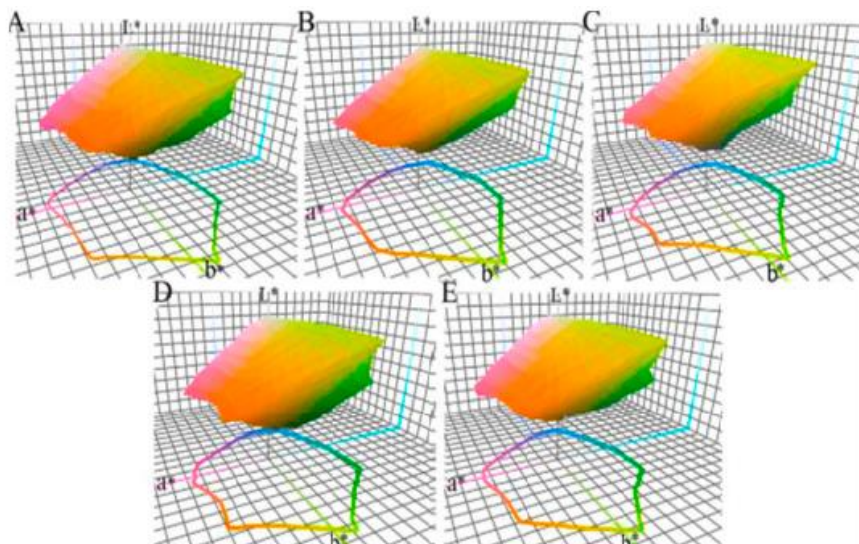
شکل ۱۰: مقایسه گاموت رنگی چاپگرهای دیجیتال در فضای رنگ CIELAB [۸].

Figure 10: Comparison of digital printers' color gamut over the CIELAB color space [8].

جدول ۱: حجم گاموت رنگی محاسبه شده کاغذهای مختلف [۸].

Table 1: The calculated color gamut volume for different papers [8].

Paper	A	B	C	D	E	F
Gamut volume	239.980	196.224	177.360	202.556	237.464	-



شکل ۱۱: مقایسه گاموت رنگی کاغذهای مختلف در فضای رنگ CIELAB [۸].

Figure 11: Comparing the color gamut of different papers over the CIELAB color space [8].

پیش تعیین شده) در هنگام تطابق رنگی مورد بررسی و ارزیابی قرار دادند. برای تجزیه و تحلیل گاموت رنگی، نمودار رنگی استاندارد به عنوان CMYK هدف توسط نه مخلوط مختلف از CMYK چاپ شد و ویژگی‌های رنگی و طیف انعکاسی نمونه‌های چاپ شده اندازه‌گیری شد.

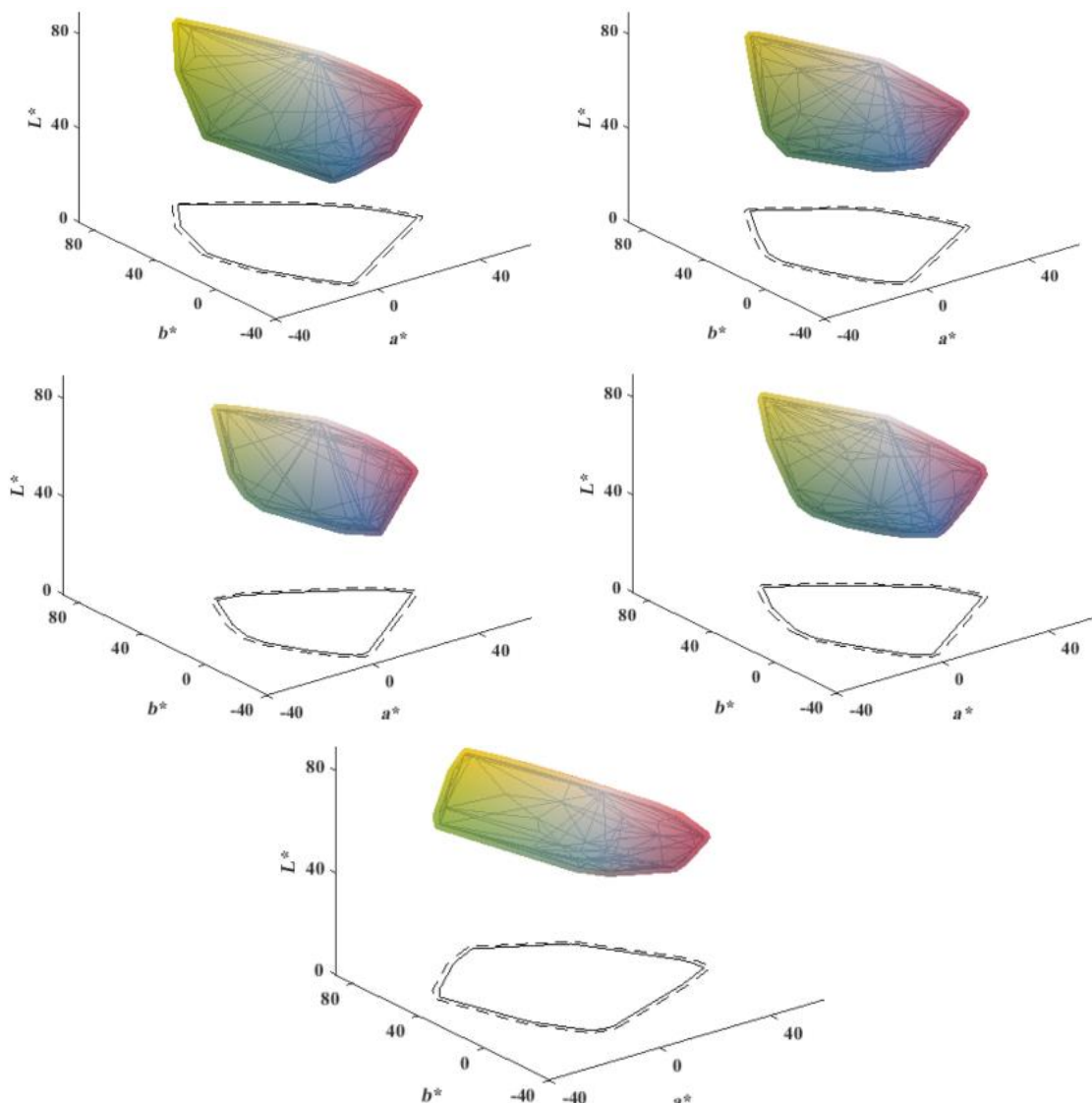
در این پژوهش از جوهرهای پایه آب پراکنده شده که بر روی پارچه پلی استر چاپ شده بودند، استفاده شد. بیشترین اختلاف

یکی از مهم‌ترین موضوعات در زمینه چاپ دیجیتال، ارزیابی و تخمین گاموت رنگی است. یک چاپگر فقط می‌تواند رنگ‌هایی که در داخل گاموت رنگی هستند را تولید کند. ممکن است گاهی حد رواداری رنگ بین نمونه مرجع و نمونه چاپ شده به عنوان یک فرآرداد بین تولیدکننده و مشتری تنظیم شده باشد. در این راستا حاجی‌پور و همکارانش در سال ۲۰۲۱، گستره گاموت رنگی در چاپگر نساجی جوهراFashion را با در نظر گرفتن اختلاف رنگی قابل قبول (از

همانطور که در این شکل‌ها نشان داده شده است اگرچه جوهر زرد برای همه مخلوطهای مختلف یکسان است و شکل گاموت رنگی در این ناحیه برای مخلوطهای مختلف متفاوت است. این انفاق در مناطق آبی و قرمز نیز رخ داده است [۲۰].

نتایج نشان داد زمانی که اختلاف رنگی قابل قبول در اندازه‌گیری گاموت رنگی در نظر گرفته شود، سطح و حجم افزایش می‌یابد، بنابراین قابلیت بازتولید رنگ در چاپگر نیز افزایش می‌یابد. گستره حجم مخلوط با حداقل حجم گاموت رنگی  $34/20$  درصد بود در حالی که گستره حجم مخلوط با بیشینه حجم گاموت برابر با  $28/06$  درصد بدست آمد.

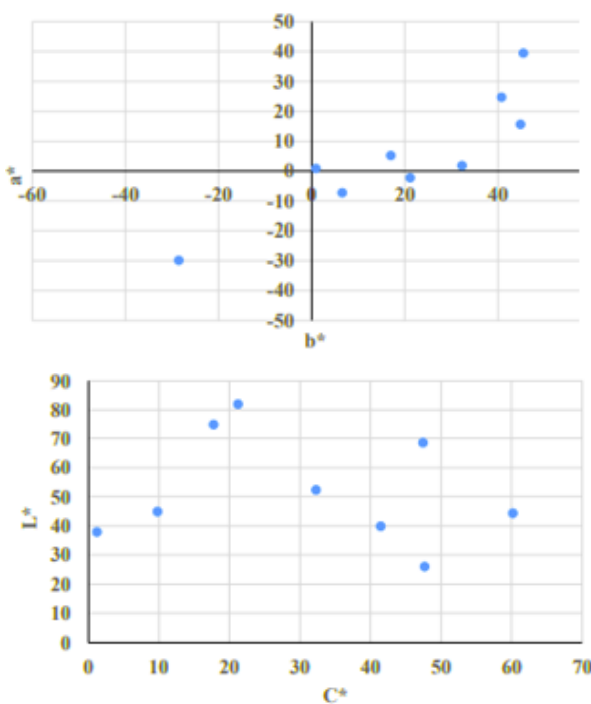
رنگی قابل قبول در این آزمایش برابر با ۲ واحد CIELAB برای همه رنگ‌ها بود. به منظور تخمین و برآورد گاموت رنگی با حداقل اختلاف رنگی قابل قبول برای همه نقاط مرزهای گاموت رنگی، نقاط بسط داده شده با فاصله اقلیدسی کمتر از  $\Delta_{ab} = 2 E$  بدست آمد. اگر اختلاف رنگی قابل قبول در نظر گرفته شود، چاپگر می‌تواند رنگ بیشتری نسبت به گاموت اصلی بازتولید کند. شکل ۱۲ گاموت اصلی و گاموت رنگی گسترش‌یافته با در نظر گرفتن  $\Delta E ab \leq 2$  برای هر مخلوط از جوهر در فضانگ CIELAB نشان داده شده است. در این شکل‌ها فضاهای رنگی دو بعدی مشخص شده توسط خطوط و خطوط نقطه چین به ترتیب برای گاموت اصلی و گاموت رنگ گسترش‌یافته با در نظر گرفتن اختلاف رنگی قابل قبول نشان داده شده است.



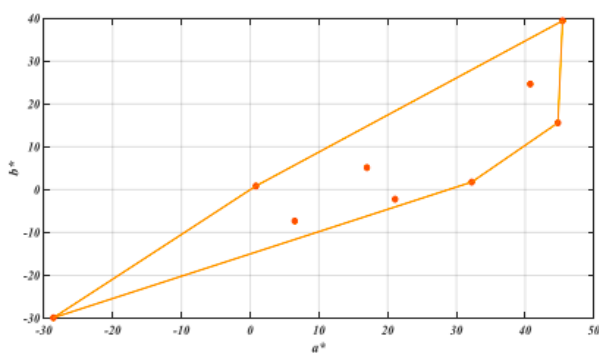
شکل ۱۲: گاموت رنگی مخلوطهای متفاوت در فضانگ CIELAB [۲۰].  
Figure 12: The color gamut of different mixtures in CIELAB color space [20].

سه بعدی در فضارنگ CIELAB به دست آمده برابر با  $\times 10^4$  است [۲۲].

در سال ۲۰۱۱ آلوریا<sup>۲</sup> و همکارانش اثر دو حلال مختلف اتیلن گلیکول<sup>۳</sup> و اتیلن دی آمین<sup>۴</sup> را بر روی خواص نوری نیمه هادی سولفید کادمیم<sup>۵</sup> مورد ارزیابی قرار دادند.



شکل ۱۳: موقعیت ۹ ماده رنگزای طبیعی در مختصات  $a^*b^*$  و  $C^*L^*$  [۲۲].  
Figure 13: Distribution of 9 natural dyes over the  $a^*b^*$  and  $C^*L^*$  diagrams[22].



شکل ۱۴: مرز گاموت رنگی ۹ ماده رنگزای طبیعی در دیاگرام دو بعدی [۲۲]  $a^*b^*$ .

Figure 14: The color gamut boundary of 9 natural dyes over the 2D  $a^*b^*$  diagram [22].

<sup>2</sup> Oliveira

<sup>3</sup> Ethylene glycol

<sup>4</sup> Ethylene diamine

<sup>5</sup> CdS

در پژوهش دیگر به بررسی رابطه میان ویژگی های رنگی انواع مختلف کاغذ که دارای نوع و چگالی متفاوتی هستند پرداخته شده است. قابلیت باز تولید رنگ با استفاده از فناوری چاپ مشابه (چاپ جوهر افشن) مورد تجزیه و تحلیل قرار گرفت. تجزیه و تحلیل نتایج نشان داد که هیچ رابطه واضحی بین ویژگی های رنگی هر کاغذ به عنوان مثال (شاخص سفیدی CIE وغیره) و حجم گاموت رنگی وجود ندارد. اگرچه ویژگی های رنگی مربوط به نمونه چاپ شده نشان داد که یک رابطه خطی کامل بین کمترین مقدار روشنایی (یا بیشترین مقدار تاریکی) در نمودار رنگی چاپ شده و حجم گاموت رنگی است. به طور کلی بیشترین حجم گاموت رنگی برای چاپگرهای جوهر افشن مربوط به کاغذهای براق است [۲۱].

### ۳-۴- بررسی مشخصه های رنگی و گاموت رنگی سلول های خورشیدی

شیراحمد و همکارانش جهت بررسی مشخصه های رنگی و طیفی حساس کننده موجود در سلول های خورشیدی از ۹ ماده رنگزای طبیعی بر پایه آنتوسبیانین استفاده کردند. توزیع نمونه های مذکور در دیاگرام  $a^*b^*$  از فضارنگ CIELAB و  $C^*L^*$  از فضارنگ CIELCH در شکل ۱۳ نشان داده شده است. بررسی نتایج نشان داد توزیع نمونه ها در ناحیه اول و سوم و چهارم فام واقع شده اند و نمونه ها از فام های قرمز مایل به زرد تا سبز- آبی و بنفش برخوردار بودند. در حالیکه مقادیر روشنایی و خلوص نمونه ها مورد استفاده در سلول های خورشیدی در دیاگرام  $C^*L^*$  از فضارنگ CIELCH بین ۱/۲-۶۰/۱۶ و  $L^* = ۸۱/۹۸$  و مقادیر خلوص در محدوده  $a^*b^* = ۱/۲-۶۰/۱۶$  است.

در ادامه برای تعیین مرز گاموت رنگی ایجاد شده توسط نمونه ها در فضارنگ CIELAB از الگوریتم Convex hull استفاده کردند. مرز گاموت ۹ ماده رنگزای طبیعی مورد استفاده در سلول های خورشیدی را در فضای دو بعدی  $a^*b^*$  در شکل ۱۴ نشان داده شده است.

در مرحله بعد برای رسم گاموت رنگی ابتدا از الگوریتم Convex hull برای مجموعه نقاط دو بعدی توسط مثلث دلونی استفاده شد. برای آنکه بتواند Convex hull سه بعدی از مجموعه داده های رنگی در فضارنگ CIELAB به دست آورند، در ابتدا مثلث دلونی این مجموعه نقاط  $(L^*, a^*, b^*)$  را ساختند.

درنهایت حجم گاموت رنگی به کمک الگوریتم Convex hull تعیین و محاسبه شد. سطح<sup>۱</sup> مربوط به حجم گاموت رنگی به دست آمده از ۹ ماده رنگزای طبیعی مورد استفاده در سلول های خورشیدی حساس شده به مواد رنگزای طبیعی در شکل ۱۵ به صورت کلی و شماتیک نشان داده شده است. نتایج نشان داد که حجم گاموت رنگی که توسط الگوریتم Convex hull در مختصات  $a^*b^*$  در مختصات رنگی

<sup>1</sup> Surface

محلول مرجع داشتند. این بدین معنی است که محلول‌های رنگی استخراج شده در محیط بازی منجر به اختلاف رنگ بالاتری نسبت به محلول رنگرای استخراج شده در محیط اسیدی می‌شوند [۵].

#### ۴-۴- گاموت رنگی کالاها رنگرزی شده

در سال ۲۰۱۶، گلرجانی<sup>۲</sup> و همکارانش در تحقیقی به بررسی مشخصه‌های رنگی کالای پنبه‌ای رنگرزی شده با مواد رنگرزای طبیعی، در فضانگهای CIELCH و CIELAB پرداختند. هم چنین در تحقیق صورت گرفته مشخصه‌های رنگی الیاف پنبه‌ای رنگرزی شده با مواد رنگرزای راکتیو مصنوعی نیز مورد اندازه‌گیری قرار گرفت، در نهایت گاموت رنگی برای نخ‌های رنگی رنگرزی شده با مواد رنگرزای طبیعی و مصنوعی با یکدیگر مقایسه شدند [۲۴، ۲۵]. در شکل ۱۶ توزیع نخ‌های پنبه‌ای رنگرزی شده با مواد رنگرزای طبیعی و مصنوعی در نمودار  $a^*b^*$  از فضانگ CIELAB نشان داده شده است. مطابق شکل ناحیه A گاموت رنگی مواد رنگرزای طبیعی و ناحیه B گاموت رنگی مواد رنگرزای مصنوعی است. نتایج بررسی‌ها نشان داد که گاموت رنگی الیاف پنبه‌ای رنگرزی شده با مواد رنگرزای طبیعی در ناحیه اول فام، بخش بزرگ‌تری داشته است. همچنین گاموت رنگی نخ‌های حاصل از رنگرزی مواد رنگرزای طبیعی در مقایسه با مواد رنگرزای مصنوعی کوچکتر است.

بررسی مقادیر خلوص نیز نشان داد که خلوص مواد رنگرزای راکتیو نسبت به مواد رنگرزای طبیعی بیشتر است، همچنین فام نهایی مواد رنگرزای طبیعی در مقایسه با مواد رنگرزای مصنوعی راکتیو ماتر و کدرتر بوده است [۲۴، ۲۵].

در تحقیق انجام شده در سال ۲۰۱۳، برای اولین‌بار ویژگی‌های طبیعی و رنگی کالای پشمی رنگرزی شده با مواد رنگرزای طبیعی مورداستفاده در قالی ایرانی در فضانگ CIEXYZ اندازه‌گیری و مورد مطالعه قرار گرفت [۲۶، ۲۵]. همچنین در این تحقیق از روش تحلیل اجزا اصلی<sup>۳</sup> و فاکتورگیری غیرمنفی ماتریس<sup>۴</sup> استفاده شد.

جدول ۲: ویژگی‌های رنگی نانو ذرات CdS [۲۳].

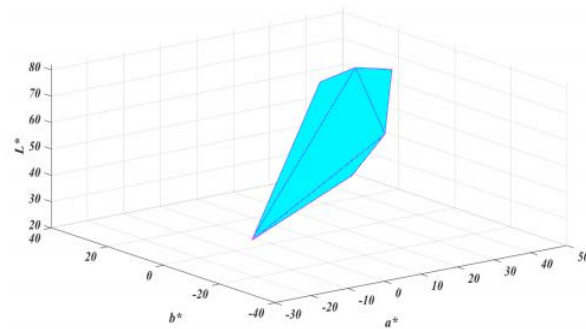
Table 2: Colorimetric coordinates of CdS nanoparticles [23].

Sample	Light source	$a^*$	$b^*$	$L^*$
Ethylene glycol	D65-10°	9.85	79.13	83.39
Ethylenediamine	D65-10°	20.70	98.38	79.96

<sup>2</sup> Gulrajani

<sup>3</sup> Principal component analysis

<sup>4</sup> NNMF



شکل ۱۵: حجم گاموت رنگی ۹ ماده رنگرزای طبیعی در فضانگ CIELAB [۲۲].

Figure 15: The color gamut of 9 natural dyes over the CIELAB color space[22].

مشخصات رنگی نانو ذرات سولفید کادمیم تحت استاندارد روش‌نایی D65 و مشاهده‌کننده استاندارد CIE1964 به دست آمد. نتایج به دست آمده در جدول ۲ نشان داد که سولفید کادمیم سنتز شده در اتیلن دی‌آمین رنگ نارنجی و سولفید کادمیم سنتز شده در اتیلن گلیکول رنگ زرد را داراست [۲۳].

در تحقیقی در سال ۲۰۱۷ حسین نژاد و همکارانش از عصاره گیاه آقطی<sup>۱</sup> به عنوان حساس‌کننده در سلول‌های خورشیدی حساس شده به مواد رنگرزای استفاده کردند. به منظور بررسی مشخصه‌های رنگی، درصد نور انتقال‌یافته از محلول‌های رنگرزای طبیعی در طول موج ۴۰۰ تا ۴۰۰ نانومتر با گامهای ۱۰ نانومتری مورد ارزیابی و مطالعه قرار گرفت. در جدول ۳ مقادیر مشخصه‌های رنگی نمونه‌ها در فضانگ‌های CIELCH و CIELAB پایه از محلول رنگرزای طبیعی نشان داده شده است [۵]. به منظور بررسی ویژگی‌های کالریمتریک، نمونه C به عنوان محلول شاهد از گیاه آقطی با نمونه‌های دیگر مقایسه شد. نتایج این پژوهش نشان داد که نمونه‌های A و B در محلول اسید‌کلریدریک از نمونه C روشن‌تر هستند و همچنین مقادیر خلوص نمونه‌های A، B و C نسبت به نمونه‌های دیگر بیشتر است که با غوطه‌وری در محلول هیدروکسید سدیم به دست آمده بودند. مقادیر  $b^*$  در محلول‌های A، B و C نسبت به پیوسته در حال کاهش است که بیانگر این مسئله است که با تغییر محیط از حالت اسیدی به قلایای فام آبی در حال افزایش است.

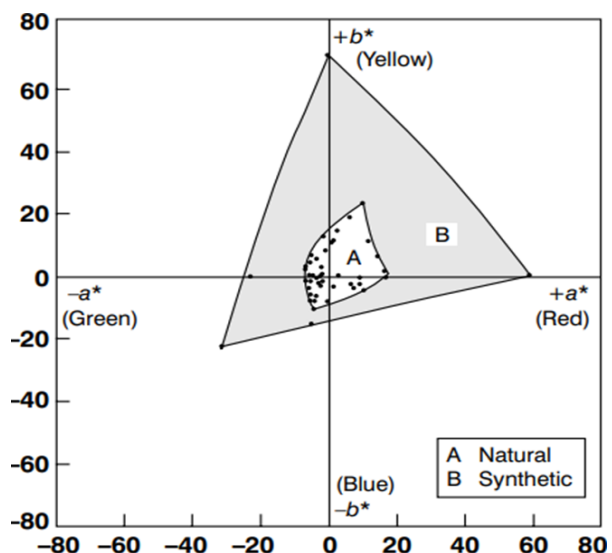
در ادامه برای بهتر نشان دادن اختلاف رنگی بین محلول‌های استخراج شده در محلول اسید‌کلریدریک و هیدروکسید سدیم به دست آمده، مقادیر اختلاف رنگی بین همه نمونه‌ها با نمونه C محاسبه شد. مطابق جدول ۳، محلول‌های رنگرزای استخراج شده در محلول اسید‌کلریدریک در مقایسه با محلول‌های ماده رنگرزای استخراج شده در هیدروکسید سدیم اختلاف رنگی بیشتری نسبت به

<sup>1</sup> Sambucus ebulus

جدول ۳: مشخصه‌های رنگی ۵ محلول رنگرای طبیعی در فضارنگ‌های CIELCH و CIELAB [۵].  
**Table 3:** Color characteristics of 5 natural dye solutions in CIELAB and CIELCH color spaces[5].

Sample	Solvent	L*	a*	b*	C*	Hue	$\Delta E^*_{ab}$	Sample photo
A	0.1 N HCl	87.57	24.01	1.09	24.04	2.59	9.94	
B	1 N HCl	83.85	29.48	-2.76	29.61	354.66	4.62	
C	-	82.70	27.58	-6.81	28.41	346.13	0	
D	0.1 N NaOH	77.95	15.32	-16.92	22.83	312.18	16.58	
E	1 N NaOH	78.99	5.41	-16.24	17.12	288.43	24.38	

مقایسه رفتار رنگی کالای پشمی رنگرزی شده با مواد رنگرزای طبیعی و چیپس‌های مانسل در شکل ۱۷ نشان داده شده است. نتایج بررسی‌ها نشان داد که گاموت رنگی نمونه‌های طبیعی در مقایسه با نمونه‌های مانسل تا حدی کوچک‌تری از دیاگرام رنگی را به خود اختصاص داده است و خلوص این نمونه‌ها کمتر است و مواد رنگرزای طبیعی با خلوص بالاتر نسبت به نمونه‌های مانسل دارای فام‌های بنفش است [۲۵، ۲۶].



شکل ۱۶: توزیع نخ‌های رنگرزی شده با مواد رنگرزای مصنوعی و طبیعی در دیاگرام  $a^*b^*$  [۲۴، ۲۵].

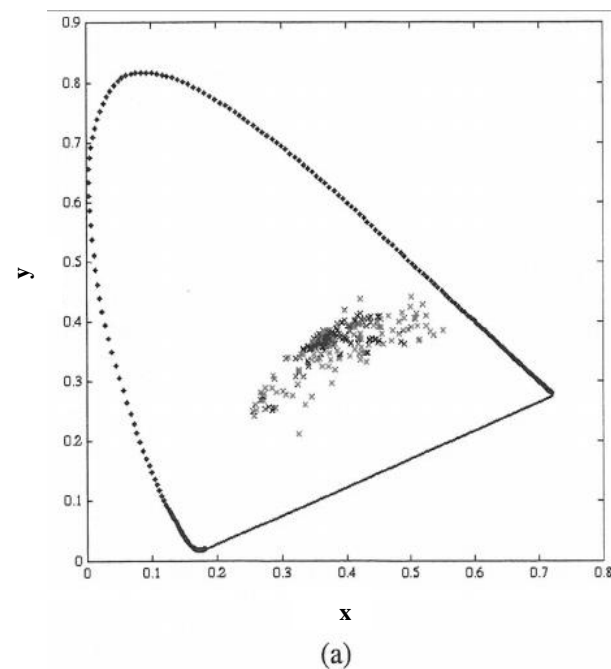
**Figure 16 :** Distribution of yarns dyed with natural and synthetic dyes over the  $a^*b^*$  diagram [24,25]

## ۵- نتیجه گیری

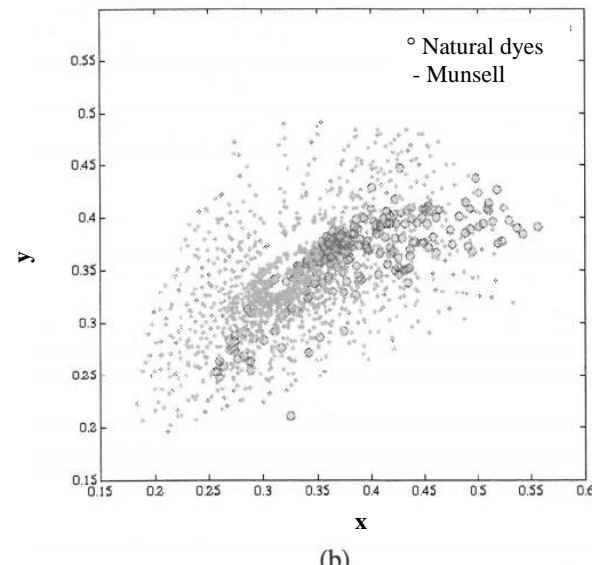
در مقاله حاضر نخست به تعریف گاموت رنگی و سپس به بررسی مطالعات و تحقیقات انجام شده در خصوص گاموت رنگی چاپگرهای مواد رنگزای طبیعی به کار رفته در کالای پشمی و پنبه‌ای و نیز سلول‌های خورشیدی پرداخته شده است. همچنین الگوریتم‌های تشریح مرزهای گاموت، ایجاد سطح توسط روش مثلث‌بندی و کاربرد روش مثلث‌بندی دلوئی نیز مورد بررسی و ارزیابی قرار گرفته است. بررسی‌ها نشان داد که در چاپگرهای دیجیتال خواص کاغذ مانند تخلخل، زبری و برآقت از مهمترین عوامل در انتقال و ظاهر تصویر در فرآیند باز تولید رنگ در چاپگر است که تاثیر بسزایی در کیفیت چاپ و گاموت رنگی دارد. در پژوهش دیگر نتایج نشان داد زمانی که اختلاف رنگی قابل قبول در اندازه‌گیری گاموت رنگی در نظر گرفته شود، سطح و حجم افزایش می‌باشد، بنابراین قابلیت باز تولید رنگ در چاپگر نیز افزایش می‌باشد. همچنین بررسی پژوهش دیگر در حوزه چاپ نشان داد که به طور کلی بیشترین حجم گاموت رنگی برای چاپگرهای جوهر افشار مربوط به کاغذهای براق است گاموت رنگی نمایشگرها از چاپگرها بزرگ‌تر است. بنابراین هنگامی که تصویر نمایش داده شده چاپ می‌شود فرآیند بدست آوردن گاموت باید از قبل انجام شود. فرآیند بدست آوردن گاموت رنگی یک روش جابه‌جایی رنگ‌های غیرقابل چاپ توسط رنگ‌های قابل چاپ است که ظاهر یک تصویر را حفظ می‌کند. مطالعات انجام شده در خصوص کالاهای پنبه‌ای و پشمی رنگرزی شده با مواد رنگزای طبیعی در مقایسه با مواد رنگزای مصنوعی نشان داد که مواد رنگزای طبیعی در مقایسه با مواد رنگزای مصنوعی از گاموت رنگی کوچک‌تری برخوردارند. در بخش بررسی مشخصه‌های رنگی سلول‌های خورشیدی مطالعات انجام شده نشان داد که بسته به مواد نیمه‌هادی سنتر شده، حلال به کار رفته و تغییر میزان اسیدی بودن محیط گاموت‌های رنگی مختلفی قابل حصول است. همچنین بررسی حجم گاموت رنگی مواد رنگزای طبیعی به کار رفته در سلولهای خورشیدی بر پایه آنتوسبینین حاکی از برتری فامهای قرمز-زرد، سیاه و بنفش است. این نکته تابعیت گاموت رنگی از نوع مواد رنگزای طبیعی به کار رفته در سلول‌های خورشیدی را نشان می‌دهد.

## تشکر و قدردانی

نویسنگان مراتب قدردانی خوبیش را از پژوهشگاه رنگ بدليل حمایتهای مادی و معنوی جهت نگارش مقاله فوق اعلام می‌دارند.



(a)



(b)

شکل ۱۷: a) توزیع نخهای پشمی رنگرزی شده با مواد رنگزای طبیعی و b) چیپس‌های رنگی مانسل (دایره‌های توپر صورتی) و نخهای پشمی رنگرزی شده با مواد رنگزای طبیعی (دایره‌های توخلای) در دیاگرام رنگ [۲۶، ۲۵].

**Figure 17:** a) Distribution of dyed woolen yarns with natural dyes and  
b) Munsell color chips (solid circles) and woolen yarns dyed with natural dyes (hollow circles) over the chromaticity diagram [26, 25].

## ۶- مراجع

1. N. Ohta, A. R. Robertson, "Colorimetry Fundamentals and Applications", England, John Wiley & Sons Ltd, **2005**.
2. R. Tilley, "Color and Optical Properties of Materials", 2nd Ed, Wiley, United Kingdom, **2011**.
3. R. McDonald, "Color Physics for Industry", Society of Dyers and Colorists, **1997**.
4. S.H. Amirshahi, F. Agahian, "Computational Color Physics", Arkane Danesh, (in persian), **2007**
5. M. Hosseinezgad, R. Jafari, K. Gharanjig, "Characterization of a green and environmental friendly sensitizer for a low cost dye-sensitized solar cell", *opto. electron rev.* 25, 98-93, **2017**.
6. B. S. Roy, Bern's, "Principles of color technology", mansell color science Laboratory, Rochester Institute of Technology, **1954**.
7. R. Balasubramanian, E. Dalal, "A method for quantifying the color gamut of an output device", Proceedings of SPIE - The International Society for Optical Engineering, **1997**.
8. M. Ataeefard, "Investigating the effect of paper properties on color reproduction of digital printing". *Prog. Org. Coat.* 77, 1376–1381, **2014**.
9. S. Chen, "Effect of paper properties on xerographic print quality (Master of Science Thesis)", Department of Chemical Engineering and Applied Chemistry University of Toronto, **2009**.
10. A. M. Bakke, F. Ivar, J. Y. Hardenberg, "Evaluation of Algorithms for the Determination of Color Gamut Boundaries". *J. Imaging Sci. Technol.* 54, 050502–050502, **2010**.
11. J. Morvic, "Color gamut mapping", Hewlett- Packard Company, Barcelona, Spain, chapter, 8, 143-155, **2008**.
12. J. Morvic, M. Ronnier Luo, "Calculating medium and image gamut boundaries for gamut mapping", Color Research & Application: Endorsed by Inter-Society Color Council, The Colour Group (Great Britain), Canadian Society for Color, Color Science Association of Japan, Dutch Society for the Study of Color, The Swedish Colour Centre Foundation, Colour Society of Australia, Centre Français de la Couleur 25, 394-401, **2000**.
13. [https://www.google.com/search?q=convex+hull%DA%86%DD8%B3%D8%AA&sxsrf=ALEKk03Zn3B9p4RjjEQPjdGGWnO5Q:1589995133115&source=lnms&tbo=isch&sa=Xed=UKEwi3heq4cLpAhViqnEKHTKTBCsQ\\_AUoAXoECAAw&biw=1366&bih=657#imgrc=D5d4QhXTuavarM](https://www.google.com/search?q=convex+hull%DA%86%DD8%B3%D8%AA&sxsrf=ALEKk03Zn3B9p4RjjEQPjdGGWnO5Q:1589995133115&source=lnms&tbo=isch&sa=Xed=UKEwi3heq4cLpAhViqnEKHTKTBCsQ_AUoAXoECAAw&biw=1366&bih=657#imgrc=D5d4QhXTuavarM)
14. M. Varshosaz, H. Helali, D. Shojaee, "Review on triangulation algorithms and the effective parameters", Geomatic conference, (in Persian), **2005**.
15. M. Varshosaz, H. Helali, and D. Shojaee, "The methods of triangulation", *Map Middle East*, 5, **2005**.
16. D. Shojaee, H. Helali, and A. A. Alesheikh, "Triangulation for surface modelling". In Ninth International Symposium on the 3D Analysis of Human Movement, France, **2006**.
17. S. Bangyong, L. Han, L. Wenli, Z. Shisheng, "A color gamut description algorithm for liquid crystal displays in CIELAB space," *Sci. World J.* doi: 10.1155/2014/671964, **2014**.
18. H. Vogl, "A Survey of Digital Press Manufacturers: Critical Paper Requirements Visiting Professor, School of Print Media Rochester Institute of Technology", No. PICRM-2008.
19. H. Al-Rubaiey, "The role of paper and process technologies for mechanics and image quality in digital electrophotography (Doctoral Thesis)", Department of Media Technology, Faculty of Information and Natural Sciences, Helsinki University of Technology, **2009**.
20. A. Hajipour, A. Shams-Nateri, "Expanding the color gamut of inkjet textile printing during color matching", *Color Research & Application*, **2021**.
21. E. Perales, F.M. Martínez-Verdú, V. Viqueira, J. Fernández-Reche, J.A. Díaz, J. Uroz, "Comparison of color gamuts among several types of paper with the same printing technology". *Color Research & Application: Endorsed by Inter-Society Color Council, The Colour Group (Great Britain), Canadian Society for Color, Color Science Association of Japan, Dutch Society for the Study of Color, The Swedish Colour Centre Foundation, Colour Society of Australia, Centre Français de la Couleur*, 4, 330-336, **2009**.
22. S. Shirahmad Haghighi, R. Jafari, M. Hosseinezhad, "Investigating of Colorimetric Characteristics of Anthocyanin Dyes Applied in DyeSensitized Solar Cells", *JCST*. 15, 79-85, **1400**.
23. J.F. A. Oliveira, T.M. Milão, V. D. Araújo, M. L. Moreirac, C. E. Longo, M. I. B. Bernardi, "Influence of different solvents on the structural, optical and morphological properties of CdS nanoparticles". *J. Alloys Compd.* 509, 6880–6883, **2011**.
24. M. L. Gulrajani, R.C. Sirvastava, M. Goel, "Color gamut of natural dyes on cotton yarns". *Int. J. Cloth. Sci. Tech.* 28, 558-569, **2016**.
25. R. Jafari1, K.Gharanjig, "A Study on Colorimetric Attributes of Natural Fibers Dyed with Natural Colorants". *JSCW*. 1, 63-74, **1397**.
26. M. Ghanbar Afjeh, S. Ghanean, F. Mazaheri, "Colorimetric and Spectral Properties of Natural Colorants Used in Handmade Traditional Persian Carpets". *J. Text. Polym.* 1, 98-104, **2013**.

**How to cite this article:**

S. Shirahmad Haghighi, R. Jafari, M. Hosseinezhad, A Review on Color Gamut and the Methods of Gamut Boundaries' Explanation, *J. Stud. Color world*, 12, 1(2022), 21-35.

**DOR:** 10.1001.1.22517278.1401.12.1.2.7